

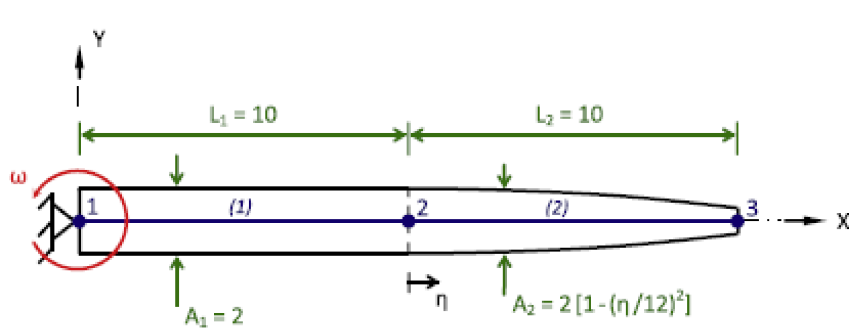
Przykład analizy wytrzymałościowej łopatki wirnika z użyciem metody elementów skończonych w systemie Mathcad

Część II

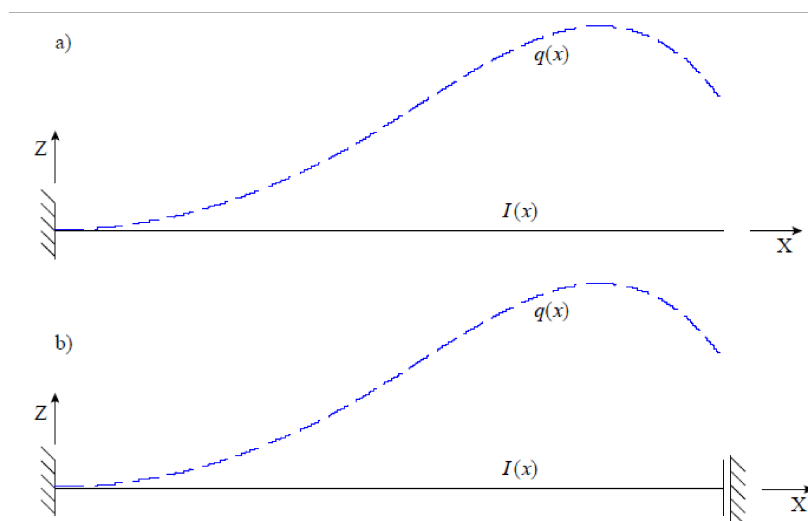
Opracował: dr inż. Paweł Stąpór

Sformułowanie problemu

Dla problemu zdefiniowanego w części I (rysunek 1) wykonać analizę naprężeń w wyniku działania siły nośnej. Model łopatki i modele zamocowania odpowiadające przypadkom konstrukcyjnym a) i b) (część I) przedstawione są na rysunku 2. Siła nośna działająca na łopatkę $q(x)$ (siła działająca prostopadle do płaszczyzny x-y) zależy od prędkości obrotowej wirnika ω , gęstości ośrodka ρ (powietrza), przekroju łopatki $A(x)$ oraz od współczynnika nośności aerodynamicznej przekroju łopatki λ . W tym przypadku naprężenia będą wynikiem zginania łopatki w wyniku działania siły nośnej $q(x)$.



Rysunek 1: Łopatką wirnika (źródło: Payen, D., J., Bathe, K., J., A stress improvement procedure, *Computers and Structures*, strony 311-326, 2012.)



Rysunek 2: Modele konstrukcyjne łopatki wirnika w aerodynamicznej analizie siły nośnej.

Rozwiązanie zadania metodą elementów skończonych

1. Definicja parametrów fizycznych i geometrycznych zadania

Ustalenie indeksowania elementów macierzy i wektorów: $\text{ORIGIN} := 1$

Całkowita długość łopatki wirnika: $L := 20$

Współrzędna określająca miejsce zmiany geometrii łopatki: $\xi := 10$

Prędkość kątowa obracającej się łopatki: $\omega := 10$

Funkcja definiująca współczynnik nośności aerodynamicznej przekroju: $\lambda(x) := 6$

Funkcja definiująca moduł Younga materiału: $E(x) := 110 \cdot 10^9$

Funkcja definiująca pole przekroju łopatki: $A(x) := \text{if} \left[x < \xi, 2, 2 \cdot \left[1 - \left(\frac{x - \xi}{12} \right)^2 \right] \right]$

Gęstość ośrodka (powietrza)

$$\rho := 1.0$$

Funkcja definiująca siłę nośną:

$$q(x) := \frac{1}{2} \cdot A(x) \cdot \rho \cdot \lambda(x) \cdot (\omega \cdot x)^2$$

Funkcja definiująca moment bezwładności przekroju:

$$I(x) := \frac{A(x)^2}{60}$$

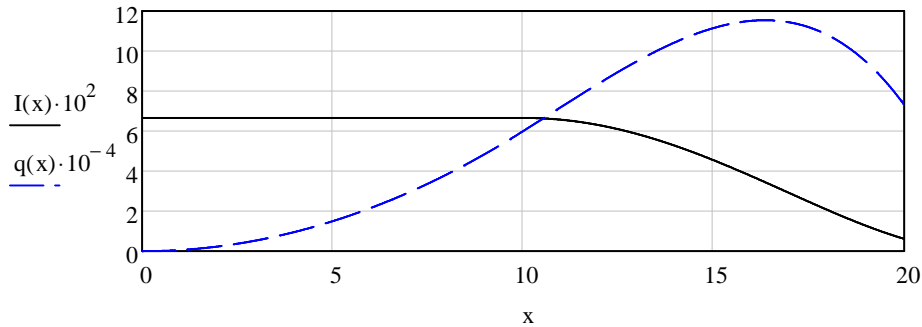
Funkcja definiująca wysokość przekroju:

$$w(x) := \sqrt{\frac{A(x)}{5}}$$

2. Wykres intensywności siły nośnej i momentu bezwładności łopatki wirnika

Definicja współrzędnych:

$$x := 0, 0.01 \dots L$$



Rysunek 2: Wykres intensywności obciążenia w wyniku działania siły nośnej $q(x)$ (skala $\times 10^4$) i momentu bezwładności przekroju łopatki $I(x)$ (skala $\times 10^{-2}$).

3. Obliczenia

Wyznaczenie sztywności przekroju na zginanie:

$$IE(x) := I(x) \cdot E(x)$$

Definicja funkcji kształtu Hermite'a (dwu-węzłowy element skończony z dwoma stopniami swobody w węźle) i ich drugich pochodnych:

$$N1(x, h) := 1 - 3\left(\frac{x}{h}\right)^2 + 2\left(\frac{x}{h}\right)^3 \quad N2(x, h) := x \cdot \left[1 - 2\left(\frac{x}{h}\right) + \left(\frac{x}{h}\right)^2\right] \quad N3(x, h) := 3\left(\frac{x}{h}\right)^2 - 2\left(\frac{x}{h}\right)^3 \quad N4(x, h) := x \cdot \left[-\frac{x}{h} + \left(\frac{x}{h}\right)^2\right]$$

$$dN1(x, h) := \frac{d^2}{dx^2} N1(x, h) \quad dN2(x, h) := \frac{d^2}{dx^2} N2(x, h) \quad dN3(x, h) := \frac{d^2}{dx^2} N3(x, h) \quad dN4(x, h) := \frac{d^2}{dx^2} N4(x, h)$$

gdzie: x - współrzędna lokalna w elemencie skończonym, h - długość elementu.

Liczba elementów skończonych użytych do dyskretyzacji obszaru rozwiązania (zakłada się podział na równej długości elementy). Liczba elementów powinna być taka aby zapewnić położenie węzła w punkcie ξ .

$$n := 32$$

Definicja długość elementów skończonych (w przypadku równej długości elementów, (wpisz $e:1; n H[e:L/n D[e:(e-1)*L/n]$):

$$e := 1 \dots n \quad H_e := \frac{L}{n} \quad D_e := \frac{(e-1) \cdot L}{n}$$

Całkowita liczba stopni swobody:

$$NoF := 2(n+1)$$

Utworzenie zerowych globalnych macierzy sztywności, wektora równoważników obciążenia i macierzy Boole'a (wpisz: $K[NoF, NoF:0 F[NoF:0 C[2, NoF:0]$)

$$K_{NoF, NoF} := 0 \quad F_{NoF} := 0 \quad C_{4, NoF} := 0$$

Program do obliczania macierzy sztywności i wektora równoważników od obciążenia ciągłego

```

KF := for e ∈ 1..n
      h ← He
      d ← De
      k ←  $\begin{pmatrix} \int_0^h \text{IE}(x+d) \cdot \text{dN1}(x,h) \cdot \text{dN1}(x,h) \, dx & \int_0^h \text{IE}(x+d) \cdot \text{dN1}(x,h) \cdot \text{dN2}(x,h) \, dx & \int_0^h \text{IE}(x+d) \cdot \text{dN1}(x,h) \cdot \text{dN3}(x,h) \, dx \\ \int_0^h \text{IE}(x+d) \cdot \text{dN2}(x,h) \cdot \text{dN1}(x,h) \, dx & \int_0^h \text{IE}(x+d) \cdot \text{dN2}(x,h) \cdot \text{dN2}(x,h) \, dx & \int_0^h \text{IE}(x+d) \cdot \text{dN2}(x,h) \cdot \text{dN3}(x,h) \, dx \\ \int_0^h \text{IE}(x+d) \cdot \text{dN3}(x,h) \cdot \text{dN1}(x,h) \, dx & \int_0^h \text{IE}(x+d) \cdot \text{dN3}(x,h) \cdot \text{dN2}(x,h) \, dx & \int_0^h \text{IE}(x+d) \cdot \text{dN3}(x,h) \cdot \text{dN3}(x,h) \, dx \\ \int_0^h \text{IE}(x+d) \cdot \text{dN4}(x,h) \cdot \text{dN1}(x,h) \, dx & \int_0^h \text{IE}(x+d) \cdot \text{dN4}(x,h) \cdot \text{dN2}(x,h) \, dx & \int_0^h \text{IE}(x+d) \cdot \text{dN4}(x,h) \cdot \text{dN3}(x,h) \, dx \end{pmatrix}$ 
      f ←  $\begin{pmatrix} \int_0^h \text{N1}(x,h) \cdot \text{q}(x+d) \, dx \\ \int_0^h \text{N2}(x,h) \cdot \text{q}(x+d) \, dx \\ \int_0^h \text{N3}(x,h) \cdot \text{q}(x+d) \, dx \\ \int_0^h \text{N4}(x,h) \cdot \text{q}(x+d) \, dx \end{pmatrix}$ 
      C ← 0·C
      C1,e-2-1 ← 1
      C2,2e ← 1
      C3,2e+1 ← 1
      C4,2e+2 ← 1
      K ← K + CT·k·C
      F ← F + CT·f
(K F)

```

Globalna macierz sztywności i globalny wektor obciążenia ciągłego K := KF_{1,1} F := KF_{1,2}
 (wpisz K:KF[1,1] F:KF[1,2]):

	1	2	3	4	5	6		1	
K =	1	3.604·1011	1.126·1011	-3.604·1011	1.126·1011	0	0	1	9.766
	2	1.126·1011	4.693·1010	-1.126·1011	2.347·1010	0	0	2	1.526
	3	-3.604·1011	-1.126·1011	7.209·1011	1.855	-3.604·1011	1.126·1011	3	166.016
	4	1.126·1011	2.347·1010	1.855	9.387·1010	-1.126·1011	2.347·1010	4	12.207
	5	0	0	-3.604·1011	-1.126·1011	7.209·1011	1.855	5	605.469
	6	0	0	1.126·1011	2.347·1010	1.855	9.387·1010	6	24.414
	7	0	0	0	0	-3.604·1011	-1.126·1011	7	1.338·103
	8	0	0	0	0	1.126·1011	2.347·1010	8	36.621
	9	0	0	0	0	0	0	9	2.363·103
	10	0	0	0	0	0	0	10	48.828
	11	0	0	0	0	0	0	11	3.682·103
	12	0	0	0	0	0	0	12	61.035
	13	0	0	0	0	0	0	13	5.293·103
	14	0	0	0	0	0	0	14	73.242
	15	0	0	0	0	0	0	15	7.197·103
	16	0	0	0	0	0	0	16	85.449

Definicja warunków brzegowych dla przypadku pierwszego rozwiązania konstrukcyjnego a)

Utworzenie zerowych wektorów warunków statycznych (siły skupione) (wpisz: P[NoF:0])

$$P_{NoF} := 0$$

Wektor stopni swobody w których definiowane są podpory
Wartości stopni swobody w podporach=0

$$R := \begin{pmatrix} 1 \\ 2 \end{pmatrix}$$

Rozwiązanie układu równań z uwzględnieniem zerowych warunków brzegowych

$$j := 1..rows(R) \quad i := 1..NoF$$

$$K_{i,R_j} := \text{if}(R_j = i, -1, 0)$$

$$Q := \text{lsolve}(K, F + P)$$

Wektor reakcji (wpisz: Q[R[j]=):

$$Q_{R_j} = \begin{matrix} -1.169 \cdot 106 \\ -1.629 \cdot 107 \end{matrix}$$

Wektor obliczonych stopni swobody (wpisz: Q[R[j]:Q.D[R[j]): $Q_{R_j} := 0$

$$Q =$$

	1
1	0
2	0
3	4.274·10-4
4	1.357·10-3
5	1.684·10-3
6	2.652·10-3
7	3.73·10-3
8	3.885·10-3
9	6.527·10-3
10	5.056·10-3
11	0.01
12	6.164·10-3
13	0.014
14	7.211·10-3
15	0.019
16	8.195·10-3

4. Postprocessing dla pierwszego przypadku konstrukcyjnego a)

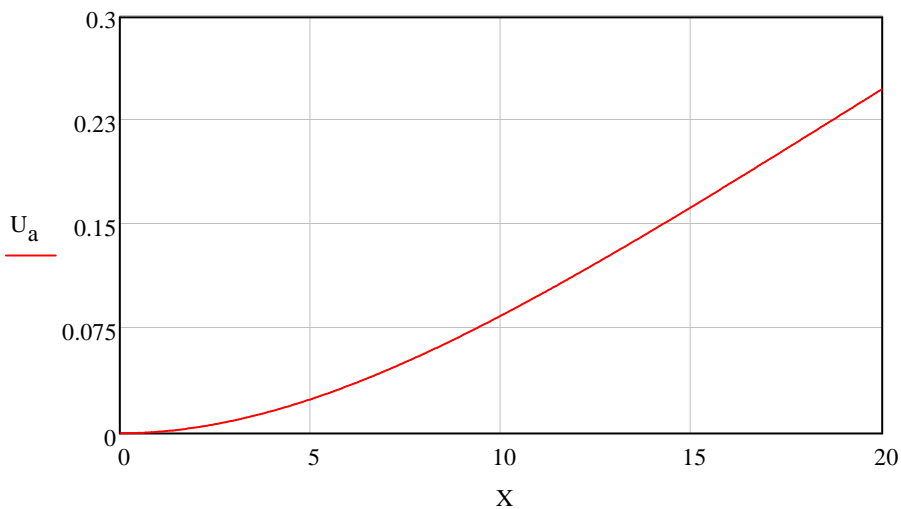
Definicja funkcji obliczającej przemieszczenia, moment giący i naprężenia w elementach skończonych

```

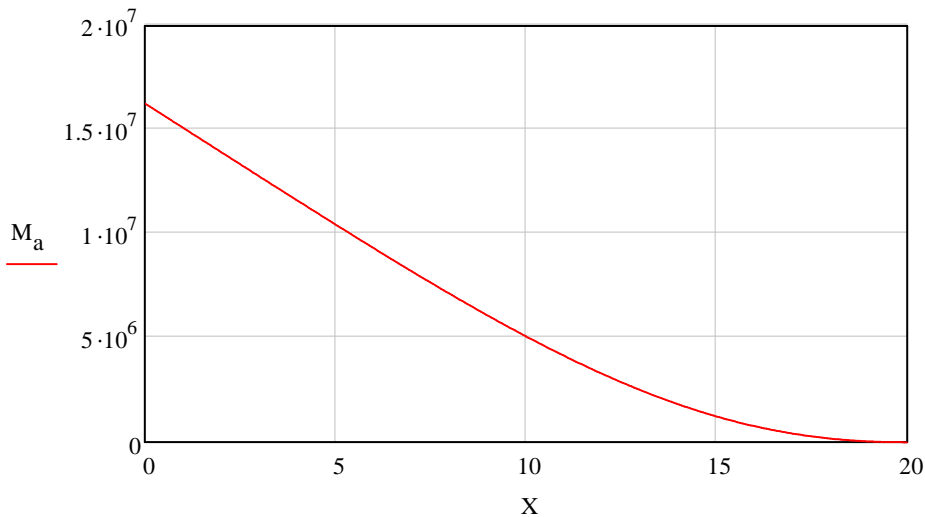
funXUS(Q) :=
  i ← 1
  N ← 10
  for e ∈ 1..n
    h ← He
    d ← De
    for j ∈ 1..N
      x ←  $\frac{h}{N-1} \cdot (j-1)$ 
      Xi ← x + d
      Ui ← (N1(x,h) N2(x,h) N3(x,h) N4(x,h)) ·  $\begin{pmatrix} Q_{2 \cdot e-1} \\ Q_{2 \cdot e} \\ Q_{2 \cdot e+1} \\ Q_{2 \cdot e+2} \end{pmatrix}$ 
      Mi ← (dN1(x,h) dN2(x,h) dN3(x,h) dN4(x,h)) ·  $\begin{pmatrix} Q_{2 \cdot e-1} \\ Q_{2 \cdot e} \\ Q_{2 \cdot e+1} \\ Q_{2 \cdot e+2} \end{pmatrix} \cdot \text{IE}(X_i)$ 
      Si ←  $\frac{M_i \cdot w(X_i)}{2 \cdot I(X_i)}$ 
      i ← i + 1
  (X U M S)
  
```

$$\text{XUS} := \text{funXUS}(Q) \quad X := \text{XUS}_{1,1} \quad U_a := \text{XUS}_{1,2} \quad M_a := \text{XUS}_{1,3} \quad S_a := \text{XUS}_{1,4}$$

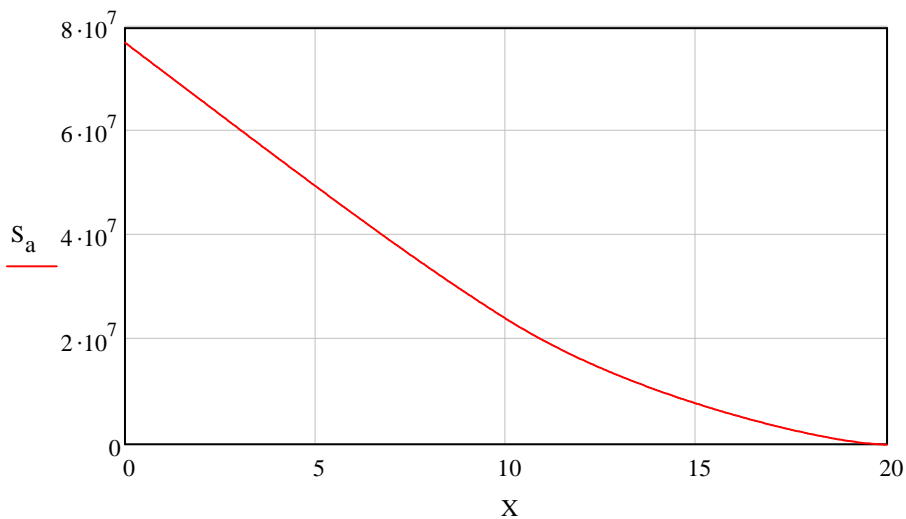
Wykres przemieszczeń dla pierwszego przypadku konstrukcyjnego a)



Wykres momentu gnącego dla pierwszego przypadku konstrukcyjnego a)



Wykres naprężeń maksymalnych w przekroju dla pierwszego przypadku konstrukcyjnego a)



Definicja warunków brzegowych dla przypadku drugiego rozwiązania konstrukcyjnego b)

Odtworzenie macierzy sztywności i wektora równoważników obciążenia ciągłego

$$K := KF_{1,1} \quad F := KF_{1,2}$$

Wektor stopni swobody w których definiowane są podpory (zerowe wartości stopni swobody)

$$R := \begin{pmatrix} 1 \\ 2 \\ \text{NoF} \end{pmatrix}$$

Rozwiązanie układu równań z uwzględnieniem zerowych warunków kinematycznych

$$j := 1..rows(R) \quad i := 1..NoF$$

$$K_{i,R_j} := \text{if}(R_j = i, -1, 0)$$

$$Q := \text{Isolve}(K, F + P)$$

$$Q_{R_j} =$$

Wektor reakcji (wpisz: Q[Rj=]):

-1.169·10 ⁶
-1.254·10 ⁷
-3.747·10 ⁶

Wektor obliczonych stopni swobody (wpisz: $Q_{R_j} := 0$)
 $Q[R_j:0]$:

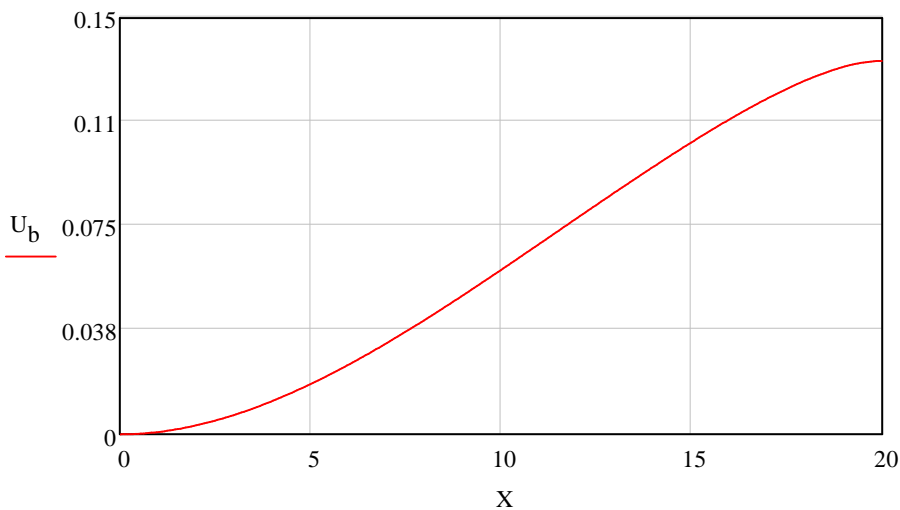
	1
1	0
2	0
3	$3.276 \cdot 10^{-4}$
4	$1.038 \cdot 10^{-3}$
5	$1.285 \cdot 10^{-3}$
6	$2.014 \cdot 10^{-3}$
7	$2.832 \cdot 10^{-3}$
8	$2.927 \cdot 10^{-3}$
9	$4.931 \cdot 10^{-3}$
10	$3.778 \cdot 10^{-3}$
11	$7.542 \cdot 10^{-3}$
12	$4.568 \cdot 10^{-3}$
13	0.011
14	$5.295 \cdot 10^{-3}$
15	0.014
16	$5.96 \cdot 10^{-3}$

5. Postprocessing dla drugiego przypadku konstrukcyjnego b)

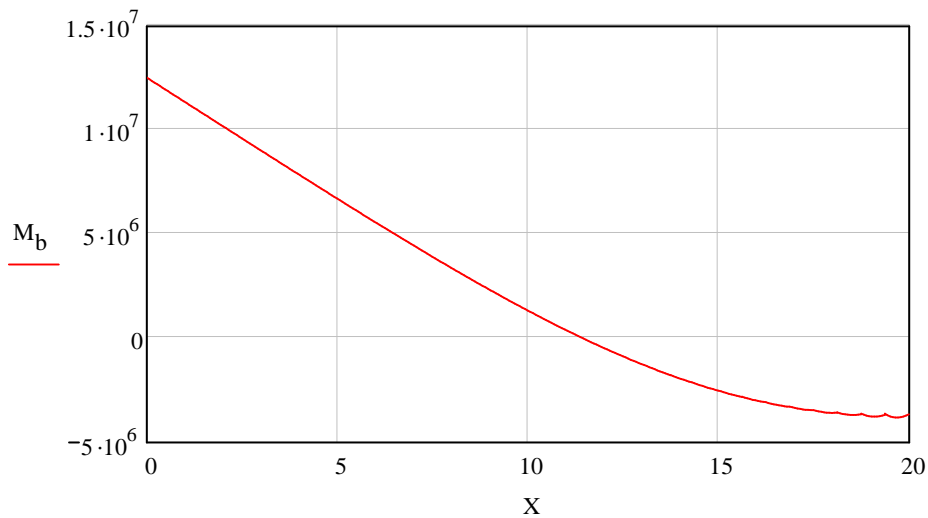
Obliczenie przemieszczeń, momentu gnącego i naprężeń w elementach skończonych

$XUS := \text{funXUS}(Q)$ $X := XUS_{1,1}$ $U_b := XUS_{1,2}$ $M_b := XUS_{1,3}$ $S_b := XUS_{1,4}$

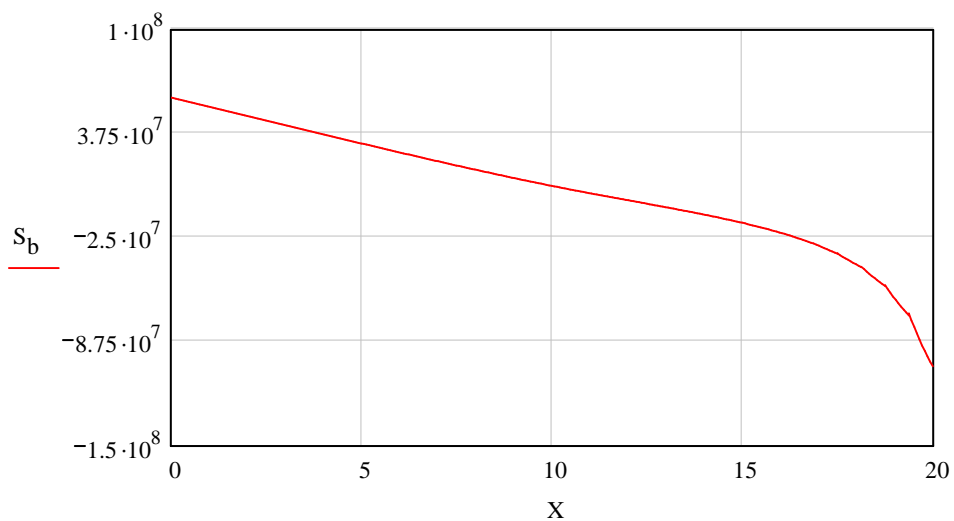
Wykres przemieszczeń dla drugiego przypadku konstrukcyjnego b)



Wykres momentu gnącego dla drugiego przypadku konstrukcyjnego b)

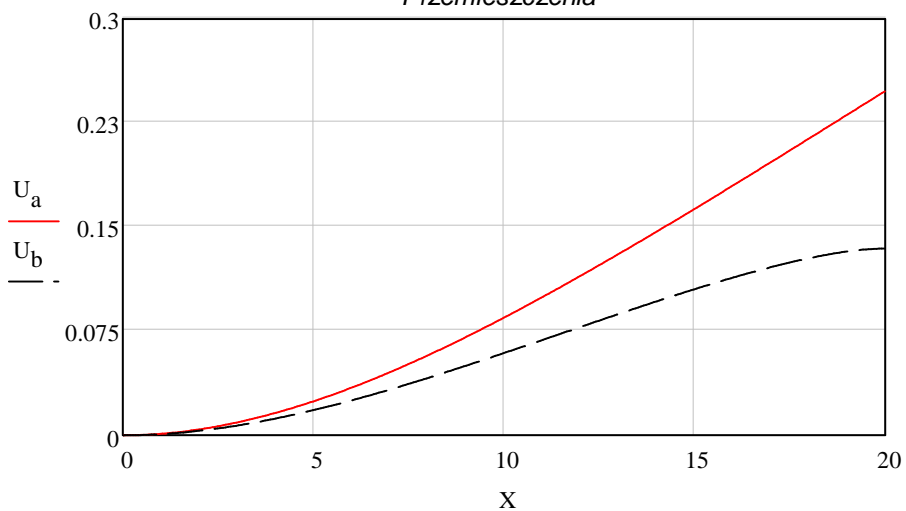


Wykres naprężeń maksymalnych w przekroju dla drugiego przypadku konstrukcyjnego b)

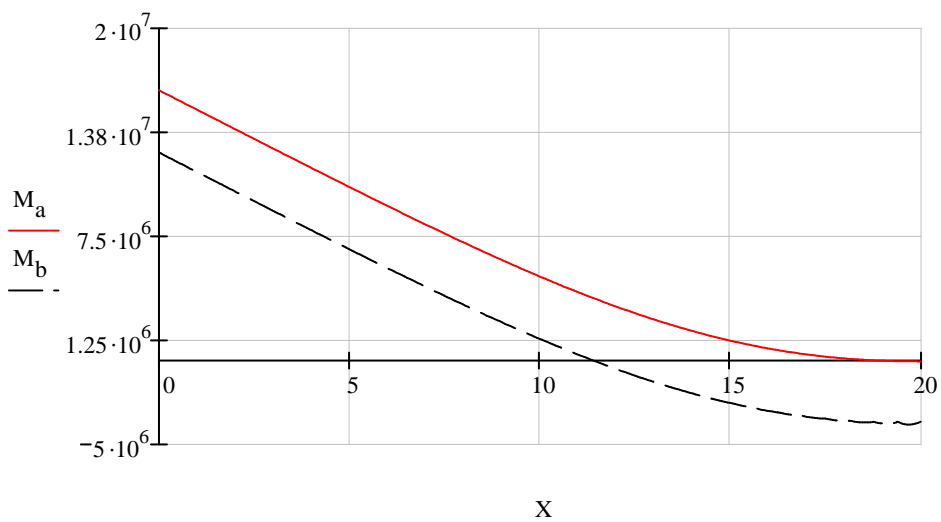


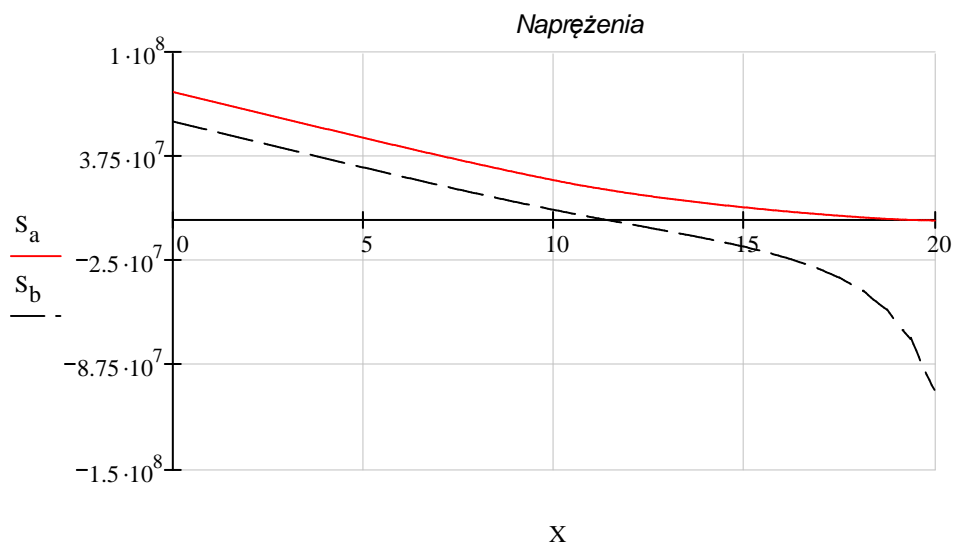
6. Porównanie wyników dla dwóch rozwiązań konstrukcyjnych

Przemieszczenia



Moment giący





Wyznaczenie naprężeń ekstremalnych dla rozwiązania konstrukcyjnego a)

$$\max(S_a) = 7.728 \times 10^7 \quad \min(S_a) = -4.324 \times 10^4$$

Wyznaczenie naprężeń ekstremalnych dla rozwiązania konstrukcyjnego b)

$$\max(S_b) = 5.951 \times 10^7 \quad \min(S_b) = -1.02 \times 10^8$$

Wykonaj analizę zadania dla zwiększonej liczby elementów skończonych ($n=64, 128 \dots$). Które z rozwiązań jest korzystniejsze ze względu na wielkość naprężeń w łopatkę wirnika?

Zbadaj wpływ prędkości obrotowej na rozwiązanie. W tym celu wykonaj analizę w zakresie prędkości kątowych $\omega = 5, 10, 15, 20$.

Zbadaj wpływ parametrów materiału na wielkość naprężeń i wpływ współczynnika nośności aerodynamicznej przekroju. Wykonaj analizę dla wartości modułu Younga $E=80e9$ i $\lambda=3, 6, 9$.

Jak zmieni się rozwiązanie kiedy łopatkę wirnika będzie miała stały profil na całej długości $A=const$?

Jaka jest całkowita siła nośna generowana przez łopatkę wirnika?